



Use a Neural Networks to Estimate the Load-Deflection Behavior of Polymeric Reinforced Concrete Beams

Hussein Sadiq Latif¹ Kadhim Zuboon Naser² Mohammed F. Ojaimi³

1 Building and Construction Department, Southern Technical University

E:mail: husseinsadiqs@gmail.com

2 Civil Engineering Department, Basrah University

E:mail: kadhimzuboon@gmail.com

3 Civil Engineering Department, Basrah University

E:mail: mohammed.ojaimi@uobasrah.edu.iq

Received:

6/6/2021

Accepted:

9/9/2021

Published:

20/10/2021

ABSTRACT

In this study, an artificial neural network was formed to estimate the load-deflection curve behavior of simply supported beams with polymer reinforcement. Available actual (experimental) values for several beams from previous studies were used to construct a neural network model.

The results obtained from this network were compared with the actual values and with the specifications of the American Code ACI 440.1 R and it was found that the values obtained from the neural network are very close to the laboratory values and present more accurate results than the values obtained from the equations of the American Code, where the neural results were more compatible with the actual study curves with a greater degree compared to what the American code equations estimated.

Key words: FRP bars, Flexural behavior, Artificial neural networks.



استخدام الشبكة العصبية لتقدير سلوكية الحمل-الاود للعتبات الخرسانية ذات التسلیح البولیمری

محمد فرحان عجمی

کاظم زبون ناصر

حسین صادق لطیف*

أ - قسم البناء والإنشاءات، الكلية التقنية الهندسية، الجامعة التقنية الجنوبية، ميسان، العراق

E:mail: husseinsadiqs7@gmail.com

ب- قسم الهندسة المدنية، كلية الهندسة، جامعة البصرة، البصرة، العراق

E:mail: kadhimzuboon@gmail.com

ج- قسم الهندسة المدنية، كلية الهندسة، جامعة البصرة، البصرة، العراق

E:mail: mohammed.ojaimi@uobasrah.edu.iq

الخلاصة

تم في هذه الدراسة تشكيل شبكة عصبية صناعية لتخمين سلوك منحنى الحمل - الاود للعتبات ذات التسلیح البولیمری والبسیطة الاسناد وقد تمت الاستعانة بالقيم العمليّة (التجربية) المتوفّرة لعدة عتّبات من الدراسات السابقة لبناء نموذج الشبكة العصبية.

وتمت مقارنة النتائج المستحصلة من هذه الشبكة مع القيم العمليّة ومع مواصفات المدونة الأمريكية ACI 440.1 R وقد وجد ان القيم التي تم الحصول عليها من الشبكة العصبية قريبة جداً من القيم المختبرية وتعطى قيم أكثر تعبرأً من القيم المستحصلة من معادلات المدونة الأمريكية، حيث كانت النتائج متوافقة مع منحنیات الدراسة العملية بدرجة أكبر مقارنة بما قدرته معادلات المدونة الأمريكية.

كلمات الدالة: شبکات عصبیة، الحمل-الاود، عتّبات خرسانية، قضبان تسلیح بولیمریة.

١- المقدمة

لقد زاد استخدام القضبان البولیمریة في السنوات الأخيرة بصورة كبيرة وذلك بسبب ما تمتاز به هذه المادة من مواصفات مرغوب بها ومن ضمن هذه الصفات انها تمتاز بمقاومةها العالية للتآكل حيث يعتبر التآكل في القضبان الحديدية التقليدية من اكبر العيوب الغير مرغوب فيها، لأن حدوث التصدعات والتشققات في الخرسانة تؤدي الى نفوذ المواد الكيميائية الى داخل الخرسانة مما تؤدي الى حدوث تآكل في حديد التسلیح التقليدي وبالتالي تؤدي الى فقدان القوة والسلامة للمنشاءات الخرسانية وبسبب المقاومة العالية المستخدمة في صناعة قضبان FRP ضد الاوكسجين والرطوبة العالية والكثیريات والكلور وغيرها من العوامل التي تؤدي الى التآكل فان هذه القضبان تتمتع بمقاومة عالية ضد التآكل لذا فان المنشاءات



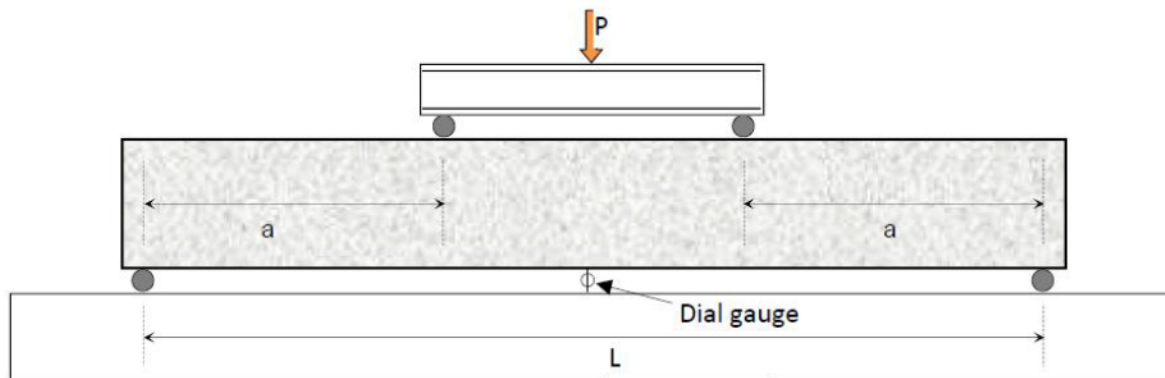
والهياكل المعرضة للنفاكل يعتبر استخدام قضبان FRP فيها بديلاً ممتاز عن قضبان الحديد التقليدية وخاصة المنشاءات البحرية والجسور والسدود والخزانات وغيرها [1].

كما وتمتاز القضبان البوليمرية بقوه شد عاليه وخفه في الوزن وخصائص غير ممغنطة لذا تم استخدام هذه القضبان في المرافق الخاصة بالتصوير المغناطيسي والمخبرات وذلك بسبب شفافيتها الكهرومغناطيسية ولكن الأعضاء الخرسانية تعتمد في مقاومتها على المواد المستخدمة في تسلیحها ولكن هناك الكثير من المشاكل في حديد التسليح التقليدي ظهرت الحاجة لوجود بدائل للتسليح ومن ضمن هذه البدائل المركبات البوليمرية وهي عبارة عن مركب من الياف تسليح ومواد لاصقة وقد تم استخدام هذه العناصر في كثير من المشاريع الهندسية وقد استخدمت في صناعة القوالب وفي التصاميم الزلزالية لغرض تقوية المنشاءات.

وبما ان معامل المرونة لهذا النوع من القضبان البوليمرية اقل من القضبان الحديدية التقليدية والذي يؤدي الى حدوث تشوهات أكبر مقارنة مع القضبان الحديدية الا ان الباحثون وجدوا ان تصميم الهياكل الخرسانية التي يتم استخدام قضبان FRP فيها تكون محكومة بشكل أساسى بمعايير الخدمة [2].

ان الشبكات العصبية الاصطناعية (ANN) هي فرع من فروع الذكاء الاصطناعي. يتم تصميم الشبكات على غرار الدماغ البشري الذي يتكون من خلايا ووصلات دماغية. كما هو الحال في الدماغ البشري، لذا فإن هذه الشبكات قادرة على التعلم من الأمثلة. تم استخدام التكنولوجيا بنجاح في مشاكل التعرف على الأنماط. يمكنه التعامل مع المواقف الجديدة والمعلومات غير الكاملة. تتعلم الشبكات العصبية من خلال ضبط أوزان الاتصال الخاصة بها. تعتمد معظم الشبكات على خوارزميات التعلم الخاضعة للإشراف حيث يتم عرض أزواج من المدخلات والمخرجات المرغوبة لهم أثناء جلسة تدريبية. كما أصبحت طرق النماذج المختلفة القائمة على الشبكات العصبية الاصطناعية شائعة واستخدمها العديد من الباحثين لمجموعة متنوعة من تطبيقات الهندسة المدنية [3].

الهدف من هذه الدراسة هو اقتراح نموذج باستخدام الشبكات العصبية ANN لتخمين سلوك الحمل — الاود للعتبات ذات التسليح البوليمرى للعتبات بسيطة الاسناد كما مبين بالشكل (١). وقد تم جمع العديد من النماذج من البحوث والدراسات السابقة وتم استعمالها كقاعدة بيانات لتدريب الشبكة المقترحة واختبارها. وقد تم مقارنة النتائج التي حصل عليها من الشبكة المقترحة مع القيم التجريبية (العملية) كما وقد تم مقارنتها مع مواصفات المدونة الامريكية ACI440.1R-11 [4].



شكل (١): رسم تخطيطي للنماذج المدروسة

٢-مراجعة المصادر

توجد الكثير من التجارب العملية التي أجريت لدراسة سلوك لعوبات الانشائي ذات التسلیح البولیمری (قضبان البولیمر) [٥] - [٢٢]. فأحدى الدراسات قامت بدراسة مختبرية لغرض فحص العوبات ذات التسلیح البولیمری واستنتجت الدراسة بأن الفشل حصل بالانضغاط لتلك العوبات قبل أن تتمزق قضبان البولیمر وتم الاستنتاج بأن القضبان البولیمرية لم تصل إلى اقصى مقاومتها. [٥]. بينما قامت دراسة أخرى بعدة فحوصات لعوبات قضبان بولیمرية وتم وضع معادلات لتخمين المقاومة لتلك العوبات بالاستنادة من خصائص القضبان البولیمرية وتم الحصول على تقدير جيد لتلك العوبات [٦]. وقدمت دراسة أخرى من قبل باحثون تم فيها استخدام قضبان بولیمرية مختلفة الأنواع واستنتجوا من خلالها ان نسبة الحمل العملي الى الحمل النظري كان بمعدل ٠,٨٧٦ [٧]. وقام باحثون بدراسة تأثير نسبة التسلیح ومقاومة الخرسانة لعوبات مسلحه بقضبان من البولیمر على سلوك الانثناء، وقد استنتجوا من الدراسة ان تأثير مقاومة الخرسانة ونسبة التسلیح يكون تأثيرها معدوما على المسافة الفاصلة بين التشققات وان عرض الشقوف يقل بزيادة التسلیح [٨].

وتم تقديم نموذج تحليلي في احدى الدراسات لعرض تقدير مقاومة الانحناء لعوبات ذات تسليح بقضبان بولیمرية وتم مقارنة القيم التي تم الحصول عليها من نموذج التحليل مع القيم التي تم الحصول عليها مختبريا ولقد لوحظ وجود توافق ملائم بين علاقة العزم - النقوس وكذلك وجود توافق ملائم لمنحنى الحمل - الاود [٩].

كما تبين ان العديد من الدراسات استخدمت الشبکات العصبية من قبل عدة باحثين في مختلف مجالات الهندسة المدنية [٢٣] - [٢٦].

تهدف هذه الدراسة لاستخدام الشبکات العصبية في تقدير سلوك الحمل-الاود للعوبات ذات التسلیح البولیمری والاسناد البسيط والمعرضة الى تأثير قوتين رأسیتين نقطیتين.



٣ الشبكات العصبية

من الممكن القول ان الشبكات العصبية تتشابه في الهيكلية إذا يتم استخدام التسلسل الشائع (العقد العصبية) والذي يتكون من مجموعة من الطبقات كما موضح بالشكل (٢)

تم تصميم شبكات ANN باستخدام أجهزة الكمبيوتر لتكون مشابهة للشبكات العصبية الطبيعية. الشبكات العصبية الاصطناعية بسيطة وصغريرة إذا ما قورنت بالدماغ البشري وهذه الشبكات قادرة على معالجة نطاق واسع من خلال تحديد المعلومات الموجودة ثم جمع معلومات كافية حول المشكلة عن طريق التقرير. المهمة بعد ذلك هي التنبؤ بالنتائج ومحاولة إعطاء أفضل النتائج، وبالتالي يمكن استخدام الشبكات العصبية لحل العديد من المشكلات المعقدة التي يكون فيها الاتصال بين بيانات الإدخال والإخراج غير واضح. تتكون هذه الشبكات من عدة وحدات بسيطة تسمى (العقدة، الخلايا العصبية) التي يتم تجميعها حسب الطبقات. يرتبط الإنسان بالعالم الخارجي بالحواس الخمسية. لذلك، تحتاج الشبكات العصبية إلى معلومات الإدخال وتحتاج إلى وحدات معالجة يمكن من خلالها إجراء الحسابات ويمكن تعديلها باستخدام الأوزان من أجل الحصول على مخرجات دقيقة لكل مدخل من مدخلات الشبكة. يتم تجميع وحدات الإدخال معًا بواسطة طبقة تسمى طبقة الإدخال، وهي متصلة بالطبقة التالية، طبقة المعالجة، والتي تحتوي على وحدات المعالجة التي تنتج منتجات الشبكة. أيضاً، هناك طبقات، مخفية، تقوم بضبط الأوزان لكل واجهة. بشكل عام، تحتوي الشبكات العصبية على طبقة إدخال واحدة بينما تحتوي على أكثر من طبقة للمعالجة. كما هو مبين في الشكل ٣، تحتوي الشبكات العصبية الاصطناعية على ثلاث طبقات؛ طبقة الإدخال والمخفية والمخرجة. الخلايا الموجودة في الطبقة المخفية هي لغرض معالجة وضبط الأوزان حيث يتم استقبال المتغيرات في طبقة الإدخال ثم تمريرها إلى الطبقة المخفية لعرض المعالجة ثم الوصول إلى طبقة الإخراج. كما مبين بالشكل (٣)

ان شكل (٣) يبين مخطط لخلية اصطناعية تحتوي على عدد من المدخلات (n) ومخرج واحد وكذلك تحتوي على تقاطع الجمع (Σ) وتحتوي على دالة التنشيط او التحفيز (f)، ان كل متغير من متغيرات الإدخال له وزنة الخاص به والذي يعطيه تأثيره داخل الخلية بينما دالة الانحياز الداخلي (b) هي مركبة تمثل مقدار الازاحة المؤثرة على تفعيل مخرج العقدة.

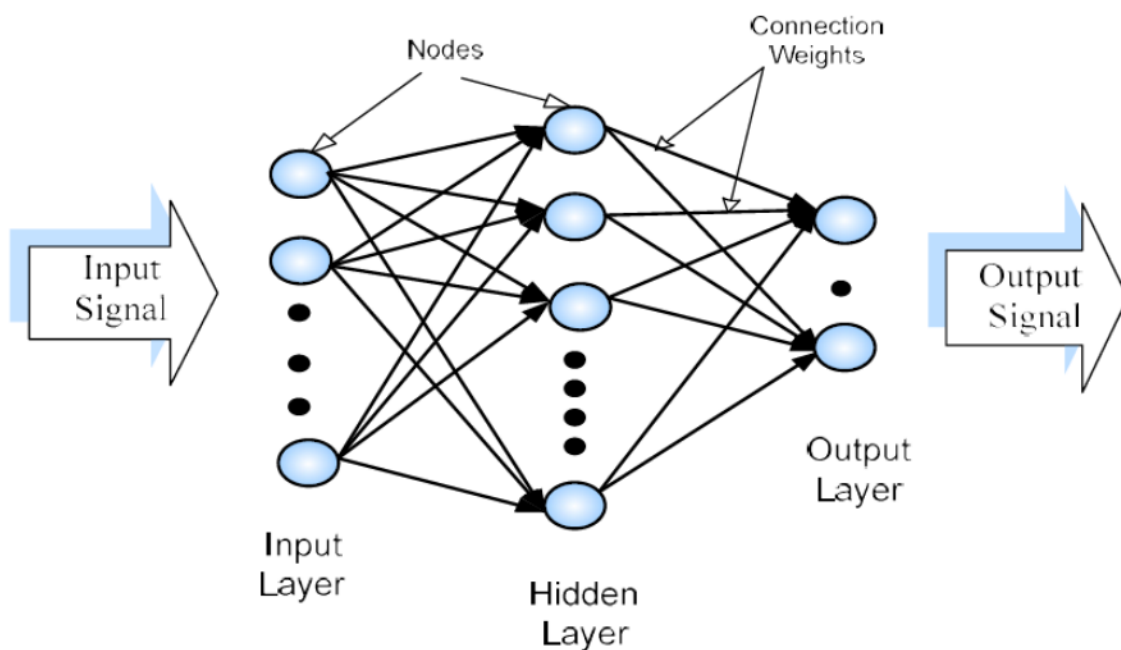
"يمكن تمثيل متوجه الأوزان ومتوجه الإدخال بـ (X_1, X_2, \dots, X_N) و (W_1, W_2, \dots, W_N) على التوالي ، حيث نحسب

دالة الجمع من خلال ضرب هذين المتجهين وبعدها نجمع النواتج". [3]

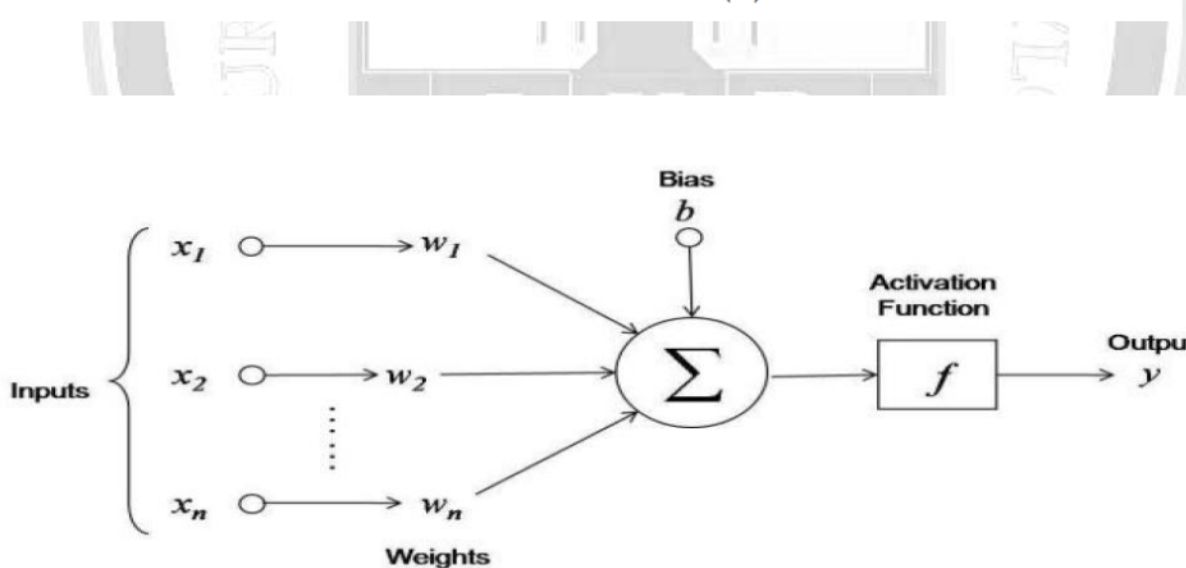
(1)

$$a = \sum_{i=1}^N (w_i x_i) + b$$

المجموع الكلي الناتج من ضرب المدخلات بأوزانها سينقل الى المخرجات خلال فعالية او عملية (خوارزمية) تسمى بدالة النقل او التحفيز [3].



شكل (2) هكلية الشبكات العصبية [3]



شكل (3) نموذج عقدة عصبية اصطناعية [3]



١-٣ إقتراح وتطوير شبكة عصبية

تم اقتراح نموذج شبكة عصبية لغرض تقدیر المنحني الخاص بالحمل — الاود لعتبات ذات تسليح باستخدام القصبان البوليمرية ومسندة بشكل بسيط ذات تحمل نقطي رباعي (حملان نقطيان تم تسليطهم من الأعلى تمثلان القوتين المسلطتين بالإضافة الى حملان نقطيان من الاسفل تمثل ردود فعل المسندتين، كما مبين في شكل (١)).

وقد تم استخدام أدوات الصندوق الموجوده في برنامج ماتلاب لغرض اعداد الشبكة العصبية وقد تم اعتماد برنامج ماتلاب (MATLAB) (اصدار R2007a V 7.4.0287) لغرض انشاء الشبكة العصبية المستخدمة في هذا البحث.

هناك العديد من الشبكات المستخدمة في اعداد الشبكات العصبية ولكن من بين الشبكات الأكثر استخداما هي الشبكة العصبية الامامية متعددة الطبقات Multilayer Feed forward Neural Networks (MFFNN) القائمه على خوارزمية الانشار العكسي (back-propagation algorithm) والتي يمكن اعتبارها الأكثر شيوعا والمستخدمة في العديد من مجالات الهندسية وسيتم استخدامها في هذه الورقة البحثية.

لغرض تدريب الشبكة العصبية تم استخدام مبدأ المحاولة والخطأ لتكوين الوسائل البيانية للشبكة مثل عدد العقد وعدد الطبقات المخفية ووسائل التدريب ونمط التعليم.

٢-٣ اختيار فئة البيانات

لغرض إنشاء الشبكة العصبية، يجب أن تكون هناك معلومات كافية لغرض التعليم (التدريب) والتحقق من (اختبار) الشبكة. لهذا الغرض، تم جمع عدد كبير من المعلومات حول العتبات ذات التسليح البوليمرى من الابحاث السابقة [٩-٢٢]. قاعدة البيانات التي تم جمعها على مدى العقود الأربع الماضية تحتوى على (٧٢) عينة لبناء النموذج المقترن في هذه الدراسة. في هذا النوع من الشبكات، يتم ترتيب الخلايا العصبية (العقد) في طبقات بحيث ترتبط العقد بالعقد الموجدة في الطبقة التالية بينما لا يوجد اتصال بين العقد في نفس الطبقة. يتم إدخال المعلومات في طبقة الإدخال ثم يتم نقلها إلى عقد الطبقات المخفية التي تمرر معلوماتها إلى طبقة الإخراج.

يتم التعامل مع المخرجات الفردية لكل طبقة كمدخلات جديدة في الطبقة التالية. يتم تدريب الشبكة MFFNN من خلال أوزان التحكم، وتتم عملية التدريب من خلال مجموعات كبيرة وسلسلة تدريبية (فترات). الغرض الأساسي من التدريب هو الحصول على أفضل مجموعة من الأوزان التي تؤدي إلى المخرجات الصحيحة للتناسب مع المدخلات.

فئة التدريب تحوي جميع القيم الطرافية الخاصة بقاعدة بيانات متغيرات الإدخال. بينما فئة الاختبار يمكن اختيارها بشكل منظم او بشكل عشوائي وفي هذا البحث فإن فئة الاختبار تم اختيارها بشكل عشوائي بمقدار حوالي (٢٠٪) من مجموع نماذج البيانات.

وبذلك فإن فئة التدريب تتتألف من (٥٦) عينة بينما فئة الاختبار تتألف من (١٦) عينة، تفاصيل عينات الاختبار مبينة بجدول

(١)



جدول (١) تفاصيل نماذج الاختبار

No.	b (mm)	h (mm)	f_c (MPa)	A_f (mm ²)	f_u (MPa)	E_f (MPa)	L (mm)	$m=a/L$	Ref.
1	200	300	60	283.4	1800	122000	2100	0.333	[10]
2	200	300	60	708.5	1800	122000	2100	0.333	
3	500	185	30.0	889.0	600	42000	3400	0.353	[12]
4	381	203	27.6	80.0	830	41400	1676	0.47	
5	305	216	38.0	160.0	830	41400	1676	0.47	[13]
6	203	152	27.6	320.0	830	41400	1676	0.47	
7	191	152	27.6	320.0	830	41400	1676	0.47	
8	140	190	56.3	402.12	995	64152	1800	0.333	[14]
9	160	190	61.7	402.12	995	64152	1800	0.333	
10	200	300	40.1	628.32	907	46200	2050	0.415	[15]
11	200	300	40.4	283.52	1506	114000	2750	0.318	[17]
12	200	300	39.3	254.5	1988	122000	2750	0.318	
13	180	230	34.0	235.5	1100	44300	1800	0.333	[18]
14	180	250	32.5	550.0	464	49620	1340	0.313	[19]
15	90	200	41.4	127.0	690	40810	900	0.389	[20]
16	80	190	41.4	127.0	690	40810	900	0.389	

٣-٣ تعريف متغيرات الادخال والاخراج

من الأمور المهمة التي يجب اخذها بنظر الاعتبار هي تعريف متغيرات الادخال والإخراج (متغيرات المدخلات والمخرجات) حيث يعتبر تحديد متغيرات الادخال عنصر مهم لغرض الحصول على شبكة عصبية فعالة. بينما يعتبر تحديد متغيرات الإخراج على ما هو مطلوب من الشبكة ان تعرفة او قدره.

ولهذا الغرض تم استخدام عدة محاولات لغرض تحديد العدد المناسب لمتغيرات الادخال ومن بين هذه المحاولات اختيار ابعاد المقطع وخصائص الخرسانة وخصائص قضبان البوليمر.

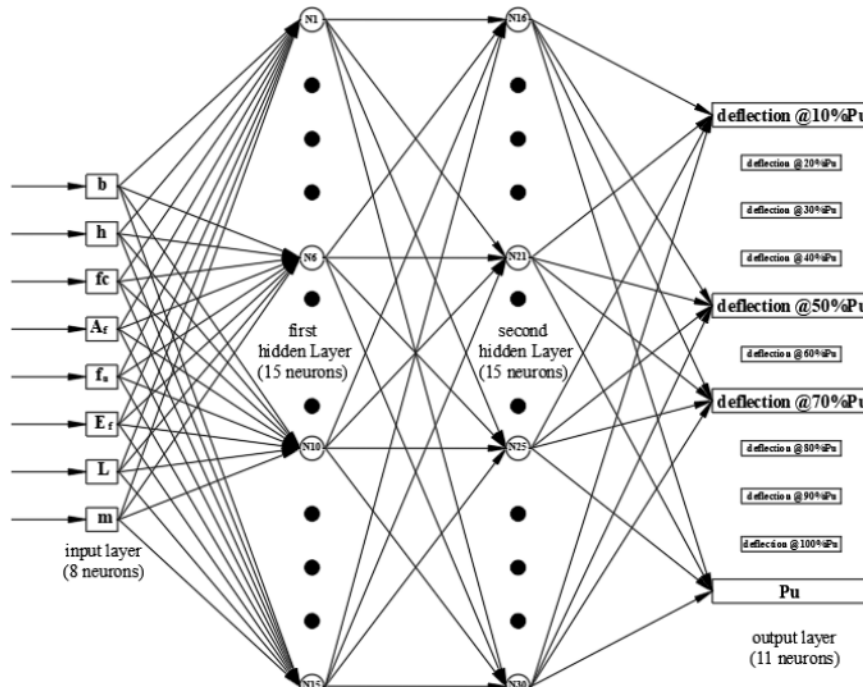
وفي هذا البحث تم الاعتماد على خواص البوليمر وأبعاد المقطع وخواص الخرسانة كمتغيرات مختاراة للإدخال. ولغرض تحديد العدد المناسب من متغيرات الادخال لتمثيل خواص العتبات المدروسة فقد تم الاعتماد على عدة محاولات لتحقيق الهدف، فقد كانت احدي المحاولات بدلا من استخدام متغيرين وهما طول المقطع وعرضة تم استخدام مساحة المقطع كمتغير واحد فقط وفي حالة أخرى تم استخدام نسبة التقوية لقضبان البوليمر بدلا من مساحة تسليح المقطع.

وغيرها من المحاولات وفي كل هذه المحاولات تم فحص قدرة الشبكة على تعميم النتائج للعتبات الأخرى.

وفي النهاية تم تحديد عدد متغيرات المدخلات بثمان متغيرات ومن بين هذه المتغيرات: عمق مقطع العتبة (h) العرضي و عرض مقطع العتبة (b) العرضي و مقاومة الانضغاط للخرسانة (f_c) و مقاومة شد قضبان البوليمر (f_u) و مساحة تسليح قضبان البوليمر (A_f) ومعلم مرنة القضبان البوليمرية (E_f) ونسبة الفضاء للقص (m) والطول الفعال لفضاء العتبات (L). بينما متغيرات الإخراج تم تحديد احد عشر متغير كمتغيرات اخراج ; عشرة من هذه المتغيرات تمثل



مقدار الاود عند كل ١٠٪ من قيمة الحمل الأقصى بينما المتغير الأخير يمثل اقصى حمل (P) للعتبات الخرسانية المدروسة. وبذلك فان الشبكة المعتمدة في هذا البحث تكونت من (٨) عقد في طبقة المدخلات و(١١) عقدة في طبقة الإخراج. كما مبين بالشكل (٤).



شكل (٤) بنية الشبكة العصبية المقترنة

٣-٤ الطبقات المخفية وعدد عُقدِها

لعرض اختيار أفضل أداء للشبكات يتم اختيار عدد الطبقات المخفية بطريقة المحاولة والخطأ وذلك لعدم وجود قاعدة معينة لمعرفة عدد الطبقات المخفية بشكل دقيق. لذلك يتم اختيار عدد صغير من الطبقات المخفية ثم يزداد تدريجياً لحين الحصول على أفضل النتائج. ولقد لوحظ أن اختيار عدد العقد اذا كان كبير فان الشبكة تكون بطئه بينما اذا كان عدد العقد صغير جداً فان الشبكة تكون غير قادرة على التدريب (التعليم) بشكل صحيح. لذلك يتم استخدام مبدأ المحاولة والخطأ لحين الحصول أفضل أداء للشبكة.

تم استخدام الشبكة متعددة الطبقات القائمة على خوارزمية الانتشار العكسي ولقد تم تجربة هيكليات مختلفة لغرض اختبار البنية الكفؤة حيث تحتوي الشبكة المطورة على ثمانية خلايا عصبية في طبقة الادخال واحد عشر خلية عصبية في طبقة الإخراج والتي تعطي أقل خطاء في النتائج.



أجريت عدة محاولات بمختلف الشبكات بعضها تحتوي على طبقة مخفية واحدة وبعضها أكثر من طبقة وبأعداد مختلفة من العقد وبدوال مختلفة من ضمنها (tangist) ودالة (linear) ومن خلال ملاحظة القيم الناتجة من اختبار الشبكة وجد بأن الشبكة العصبية ذات الطبقتين المخفيتين (15-15) تعطي أفضل أداء وبأقل معدل خطأ في قيم متغيرات الإخراج حيث كان مقدار الخطاء ($MSE=0.00076$) لمجموعة التدريب ومقدار خطأ مقداره ($MSE=0.02259$) لمتغيرات الاختبار لعدد دورات مقدارها (٦٠٠) دورة. وكان عدد العقد (١٥) في الطبقة المخفية الأولى و(١٥) عقدة في الطبقة المخفية الثانية. وتم استخدام دالة التفعيل (Tangist) للطبقة المخفية الأولى والثانية ودالة (Purlin) في طبقة الإخراج ان خواص الشبكة العصبية المقترنة في هذه الدراسة موضحة بجدول (٢).

جدول (2) مواصفات الشبكة المقترنة

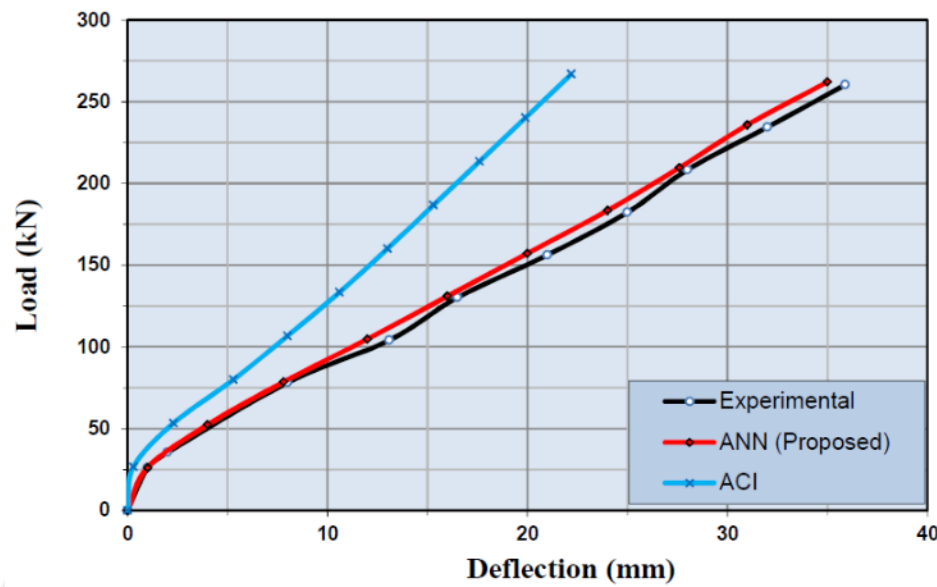
Network	No. of nodes in input layer	No. of nodes in first hidden layer	No. of nodes in second hidden layer	No. of nodes in output layer	No. of epochs	MSE for training set	MSE for testing set
15-15	8	15	15	11	600	0.00076	0.02259

٤. النتائج والمناقشة

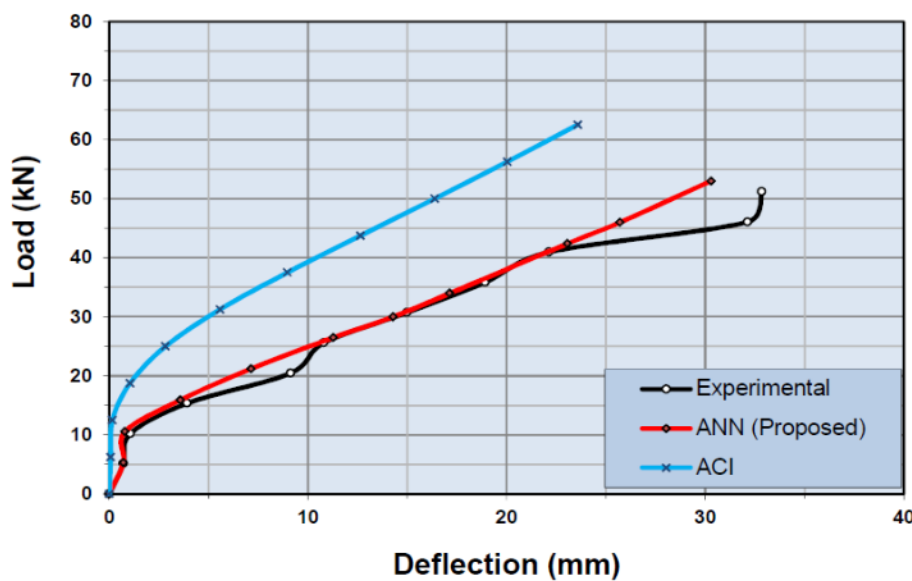
لعرض تقدير ورسم منحنيات الحمل — الاود دون اللجوء الى التجارب المختبرية، تم استخدام الأنظمة الذكية لبناء نموذج قادر على إيجاد منحنيات الحمل — الاود للعتبات المسلحة بالقضبان البوليميرية باستخدام الشبكات العصبية الاصطناعية.

تم الاعتماد على عدد كبير من البيانات المختبرية لبناء النموذج ولعرض اختبار أداء الشبكة العصبية المقترنة في هذه الدراسة تم رسم منحنيات علاقة الحمل — الاود من نتائج الشبكة المقترنة لأربعة نماذج من العتبات لفئة الاختبار وهذه العتبات هي رقم (١) و (٥) و (١٢) و (١٦) المبينة تفاصيلها بجدول (١).

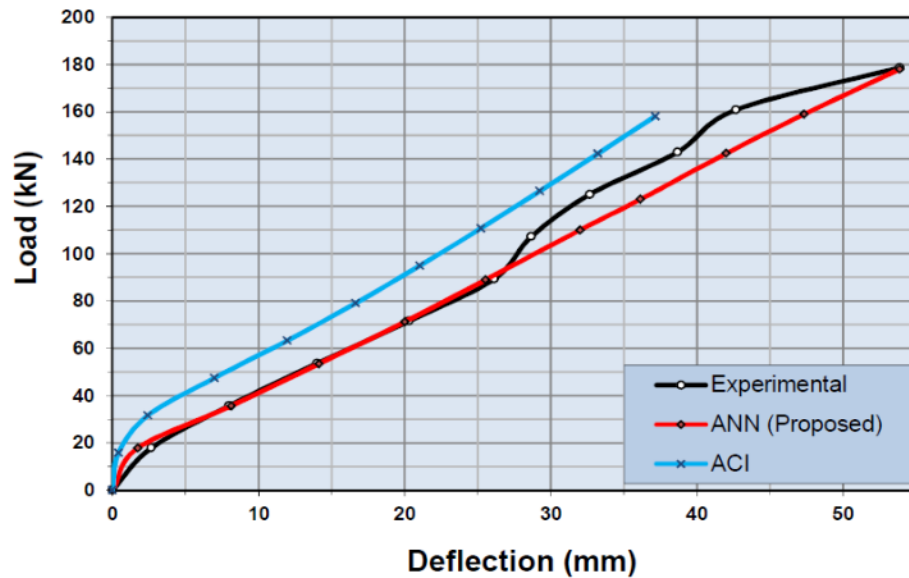
وتم مقارنة النتائج التي تم الحصول عليها من نتائج الشبكة مع المنحنيات الحقيقية (العملية) ومع المنحنيات التي تم تقديرها باستخدام معادلات ومواصفات المدونة الأمريكية وتم تمثيل النتائج بالأشكال (٨-٥).



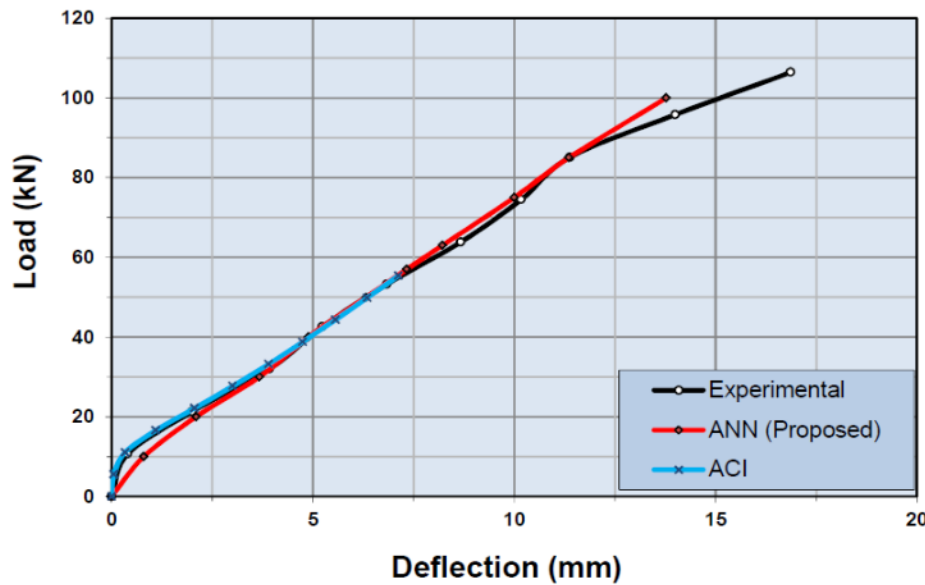
شكل (5) منحني الحمل-الاود للعينة رقم 1



شكل (6) منحني الحمل-الاود للعينة رقم 5



شكل (7) منحنى الحمل-الاود للعتبة رقم 12



شكل (8) منحنى الحمل-الاود للعتبة رقم 16

تبين الاشكال أعلاه بان الشبكة المقترنة بإمكانها تدبير منحنى الحمل – الاود بشكل ادق لكونها توافقت مع منحنيات التجارب العملية مقارنة بما قدرته المدونة الامريكية حيث تبين من العتبة الأولى ان نسبة الحمل المقدر باستخدام الشبكة العصبية وما يقابلها من الاود نسبة الى القيم التي تم الحصول عليها من التجارب العملية كانت النسب [0.975] & [1.006] على التوالي، بينما الفرق باستخدام المدونة الامريكية كان بنسبة [1.025] & [0.618] على التوالي.



اما فيما يخص العتبة الخامسة فان نسبة الحمل باستخدام الشبكة والاواد المقابل له نسبة الى القيم العملية كان [0.922 & 1.035] على الترتيب. بينما الفرق باستخدام المدونة الامريكية كان بنسبة [1.221 & 0.718] على التوالي.

بينما كان نسبة الحمل باستخدام الشبكة والاواد المقابل له نسبة الى القيم العملية [0.996 & 1.000] على الترتيب للعتبة رقم ١٢. بينما الفرق باستخدام المدونة الامريكية كان بنسبة [0.689 & 0.885] على التوالي.

كذلك كانت نسبة الحمل باستخدام الشبكة والاواد المقابل له نسبة الى القيم العملية [0.940 & 0.817] على الترتيب للعتبة رقم ١٦. بينما الفرق باستخدام المدونة الامريكية كان بنسبة [0.422 & 0.520] على التوالي.

كما ويوضح من الجدول (٣) بان القيم المستحصلة من معادلات المدونة الامريكية تعطي قيم صغيرة وأكثر تحفظا عند الحمل الأقصى وبالتالي فان تقديرها للعلاقة لا يكون متوافقا مع علاقات المنحنيات الفعلية (المختبرية).

يستخلص من هذا فان الشبكة العصبية المقترحة في هذا البحث تكون قادرة على تقدير منحنى الحمل — الاود وبشكل دقيق للعتبات المسلحة باستخدام القضبان البوليمرية ودون الحاجة الى استعمال حسابات العزم الذاتي لمقاطع العتبات ودون الحاجة الى التجارب العملية المكلفة اقتصاديا.

٥- الاستنتاجات

يستدل من دراسة النتائج وما قد تم مناقشته على الأمور التالية:

- ١- ان الشبكة المقترحة في هذه الدراسة تكون قادرة على تقدير منحنيات الحمل - الاود بشكل دقيق، حيث كانت متوافقة مع منحنيات الدراسة التجريبية (العملية) بشكل كبير مقارنة بما تم تقاديره بواسطة مواصفات ومعادلات المدونة الامريكية.
- ٢- ان القيم المستحصلة من المدونة الامريكية كانت صغيرة ومحفظة للاواد عند اقصى حمل وبالتالي يجعل تقديرها لشكل منحنى الحمل - الاود غير متوافق مع المنحنيات المستحصلة من النتائج التجريبية (العملية).

Acknowledgments:

Sample of Acknowledgments Sample of Acknowledgments Sample of Acknowledgments.

Conflict of interests.

There are non-conflicts of interest.

References

- [1] Jain R, Lee L. Fiber Reinforced Polymer (FRP) Composites for Infrastructure Applications. Focusing on Innovation, Technology Implementation and Sustainability: Springer; 2012.
- [2] El-Salakawy E, Kassem C, Benmokrane B. Flexural Behaviour of Concrete Beams Reinforced with Carbon FRP Composite Bars. 4th Structural Specialty Conference of the Canadian Society for Civil Engineering. 2002, June 5-8, Montreal, Quebec, Canada.



- [3] Graupe D. Principles of Artificial Neural Networks. Vol.6, World Scientific: World Scientific Publishing Co. Pte. Ltd; 2007.
- [4] ACI 440.1R-11. Guide for the Design and Construction of Concrete Reinforced with FRP Bars. American Concrete Institute, Farmington Hills, Michigan, 2011.
- [5] Sadaatmanesh H, Ehsani MR. Fiber composite bar for reinforced concrete construction. Journal of Composite Materials 1991, 25(2):188-203.
- [6] Navy EG, Neuwerth GE, Phillips CJ. Behavior of fiber glass reinforced concrete beams. Journal Struct. Div. ASCE 1971, 97:2203–2215.
- [7] Satoh K, Kodama K, Ohki H.A study on the bending behavior of repaired concrete beams using fiber reinforced plastic (FRP) and polymer mortar. Proc. ACI International Conference, Evaluation and Rehabilitation of Concrete Structures and Innovations in Design. 1991, Detroit, Mich., pp.1017–1031.
- [8] Theriault M, Benmokrane B. Effects of FRP reinforcement ratio and concrete strength on flexural behavior of concrete beams. J. Compos. Constr. 1998, 2(1):7–16.
- [9] Almusallam TH. Analytical prediction of flexural behavior of concrete beams reinforced with FRP bars. Journal of Composite Materials 1997, 31(7): 640–657.
- [10] Saadoon A.S., Abbas A.M., Khalaf A.A. The Attitude of Load-Deflection for Concrete Beams with Polymer Reinforcement. Tikrit Journal of Engineering Sciences 2019, 26(4).
- [11] Chaallal O, Benmokrane B. Fiber Reinforced Plastic Rebars for Concrete Applications. Composites Part B: Engineering 1996, 27(3-4):245-252.
- [12] Pecce M, Manfredi G, Cosenza E. Experimental Response and Code Models of GFRP RC Beams in Bending. Journal of Composites for Construction 2000, 4(4):182-190.
- [13] Yost JR, Goodspeed CH, Schmeckpeper ER. Flexural Performance of Concrete Beams Reinforced with FRP Grids. Journal of Composites for Construction 2001, 5(1):18-25.
- [14] Barris C, Torres L, Turon A, Baena M, Catalan A. An Experimental Study of the Flexural Behaviour of GFRP RC Beams and Comparison with Prediction Models. Composite Structures 2009, 91(3):286–295.
- [15] Yuan F, Pan J, Leung CKY. Flexural Behaviors of ECC and Concrete/ECC Composite Beams Reinforced with Basalt Fiber Reinforced Polymer. Journal of Composites for Construction 2013, 17(5):591-602.
- [16] Shin S, Seo D, Han B. Performance of Concrete Beams Reinforced with GFRP Bars. Journal of Asian Architecture and Building Engineering 2009, 8(1):197-203.
- [17] Kassem C, Farghaly AS, Benmokrane B. Evaluation of Flexural Behavior and Serviceability Performance of Concrete Beams Reinforced with FRP Bars. Journal of Composites for Construction 2011, 15(5):682-695.
- [18] Zhang L, Sun Y, Xiong W. Experimental Study on the Flexural Deflections of Concrete Beam Reinforced with Basalt FRP Bars. Materials and Structures 2015, 40(10):3279–3293.



- [19] Saikia B, Kumar P, Thomas J, Rao KSN, Ramaswamy A. Strength and Serviceability Performance of Beams Reinforced with GFRP Bars in Flexure. *Construction and Building Materials* 2007, 21(8):1709–1719.
- [20] Chitsazan I, Kobraei M, Jumaat MZ, Shafiq P. An Experimental Study on the Flexural Behavior of FRP RC Beams and a Comparison of the Ultimate Moment Capacity with ACI. *Journal of Civil Engineering and Construction Technology* 2010, 1(2):27-42.
- [21] Issa MS, Metwally IM, Elzeiny SM. Influence of Fibers on Flexural Behavior and Ductility of Concrete Beams Reinforced with GFRP Rebars. *Engineering Structures* 2011, 33(5):1754–1763.
- [22] Rasheed HA, Nayal R, Melhem H. Response Prediction of Concrete Beams Reinforced with FRP Bars. *Composite Structures* 2004, 65(2):193–204.
- [23] Topcu IB, Saridemir M. Prediction of rubberized mortar properties using artificial neural network and fuzzy logic. *Journal of Materials Processing Technology* 2008, 199(1-3):108–118.
- [24] Topcu IB, Saridemir M. Prediction of compressive strength of concrete containing fly ash using artificial neural networks and fuzzy logic. *Computational Materials Science* 2008, 41(3):305–311.
- [25] Ozcan F, Atis CD, Karahan O, Uncuoglu U, Tanyildizi H. Comparison of artificial neural network and fuzzy logic models for prediction of long-term compressive strength of silica fume concrete. *Advances in Engineering Software* 2009, 40(9):856–863.
- [26] Saridemir M. Predicting the compressive strength of mortars containing metakaolin by artificial neural networks and fuzzy logic. *Advances in Engineering Software* 2009, 40(9):920–927.